

(67) 深部地中タンクの無人工法の岩盤力学的考察  
—水没式タンクの試論—

電力中央研究所 林 正夫

Rock Mechanics Aspects of Automatic  
Construction of Submerged Underground Cavern  
in Deep Soft Rock -Provisional Discussion-

CENTRAL RESEARCH INSTITUTE OF ELECTRIC POWER INDUSTRY

Masao Hayashi

**Abstract:** Advanced design concept of underground submerged spacing is presented to construct the storage tank of compressed air energy in soft rock. Two methods of construction are discussed on stress, deformation and local safety factor : the Full Excavation Method and Perimetral Wall Construction Method.

Some construction devices are considered, for example, Pantograph Trench Cutter, Uplifting Dome Type Membrane and Hydraulic Mud Supporting of constructing cavern.

Ratio of lateral stress to vertical stress is discussed on the previous observations, and required mud density to support the excavating cavern. This provisional proposal should be assessed in more detail by colleagues before going to experimental study at the test field.

1. 目的 深さ600mに水没地下タンクをつくり60気圧の空気を深夜電力をを利用して貯蔵し静水圧で定圧にしその圧力と含有酸素でピーク発電に地上のガスタービンのLNGと混ぜ燃焼させ都市での激しい負荷変動に対応できる分散型の発電を行うとして、そのための軟岩での無人工法での水没タンクの可能性を研究する<sup>2)</sup>。<sup>3)</sup><sup>4)</sup>。水没タンクは1万～10万m<sup>3</sup>（球半径15～30m）を考える。

2. 従来の研究 岩塩層で700m深さに水ジェットで30万m<sup>3</sup>の乾式タンクをやり70気圧のガスバイン用空気を貯めるのに西独で1978年に成功した<sup>1)</sup>軟岩での水没タンク<sup>3)</sup><sup>4)</sup>は未だない。

3. 堆積軟岩の想定 東京湾での上総・三浦層、大阪湾での大阪層など深部ではq<sub>u</sub>が20～50kg/cm<sup>2</sup>程度で側圧は特に研究されたことはすくない。今後、調べたい（写真1は三浦層泥岩）

4. 拡幅掘削機 東京湾ペイブリッジで使われた旋回式（ブーム方式）か、より広げるには溝切り式（パンタラフ方式）が考えられる。写真2は筆者が土曜の講義の大学生の教材に作ってみたパンタグラフ拡幅溝切り機の模型である。

5. 浮揚式メンブレン 水没空洞の天井部の水和反応による崩落防止用の一次的吹き付けの他に例えば写真3のように立坑から圧縮空気を送りドーム状メンブレンを天井部に浮揚させ、圧着し、ウレタンで接着する工夫をガラス瓶のなかで確かめてみた。規則正しく圧着するには傘の骨組を内装するとよいことが分った。

6. 工法に関するいろいろな構想（例） 表1はとりあえず筆者に気の付いたものを例示してみた。今後沢山出てくる発想の踏み台にしてもらえば幸いである。大別して比較的均質な地質での全断面工法と非均質な場合の部分断面工法（連続地中壁工法）が考えられる（詳しくは最下欄の説明資料参照）



写真1 シルト質泥岩  
(三浦層)

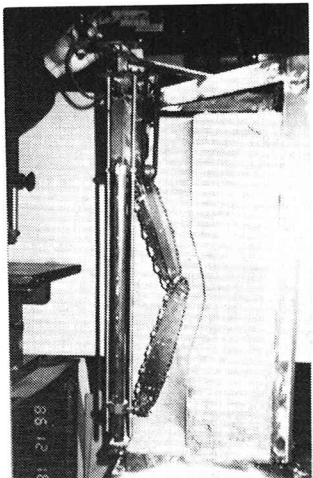


写真2 パンタグラフ拡巾  
溝切り掘削機の部分模型

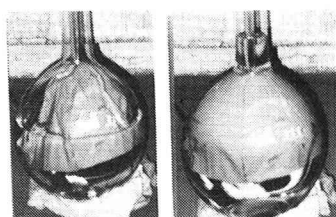
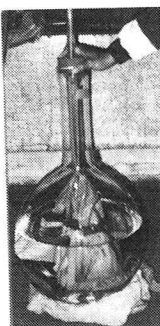


写真3 浮揚式メンブレンの天井への圧着（模型）

表 1 軟岩での深部地中水没ターンクの無人工注（構想）の諸例

工法		(連続地盤中曲面工法)					
方式	記号	水没式ブレン型押込ドーム	水没式ドーム	曲り立坑方式	曲線レーント	弓型レーント	水平リングレール
A-1	A-2			B-1	C-1	C-2	D-1
均質な地盤	岩						E-1
側面	底面						
略図							
水	平断面						
掘削	面						
開発課題	工						
説明	土木学会、第42回年次 科学講演会、1987-9	土木学会、地下空間利用 普及シンポジウム、1988-10	岩の力学連合会、第7回 会合シンポジウム、1987-12	土木学会、地下空間利用 シンポジウム、1988-11	土木学会、地下空間利用 シンポジウム、1988-10	土木学会、地下空間利用 シンポジウム、1988-11	土木学会、第20回 土木力学研究会、1988-12
方	式	水没式ブレン型押込ドーム	水没式ドーム	曲り立坑方式	曲線レーント	弓型レーント	水平リングレール
記	号	A-1	A-2	B-1	C-1	C-2	D-1
地	質	均質な地盤	岩	砂層	砂層	砂層	岩
側	面						
略	図						
水	平断面						
掘	削面						
開	発課題						
説	明						

7. 水没した地下タンクの安定性 軸対称FEMで掘削解析を筆者等が発案、実用化した逐次非弾性変形解析の手法によりCRCのプログラムで行った。図1と図2に逐次掘削E<sub>1</sub>, E<sub>2</sub>, ~覆工Cへでの良い安定状態を示す。全断面工法では泥水比重1.5としたが結果的には1.3でよかったですかもしない(10.で再論)。(連壁工法では泥水比重は1.0)。(側圧係数はともに1.00の場合)

#### 8. 深部軟岩での側圧係数Kの実測土圧からの推定例

文献からつぎの考察が出来るように思われる。

(1) 東京湾ペイブリッジ(首都公<sup>5)</sup>)土丹基礎での深さ120mまでの孔内載荷での静止土圧は図3ようであり、単純にK値をよく近似的参考に推定すると、図中に記したように浅い所で2, 7, 深くなると1.0になつてている。さらに深くでは1.0より小さくなるかもしれません。

7) 8) 9)

(2) 海外での石油開発でのデータの総括は図4のようで浅いところではK値は大きく、深くなると小さくなつてている。

(3) Serata, S<sup>6) 7)</sup>は図5のように地層のせん断強度と側圧の大小の関係に付き傾向を論じている。

(4) 以上の傾向から、深くなると、また弱い岩盤では、側圧は1.0に近いか、より小さいと推測される。

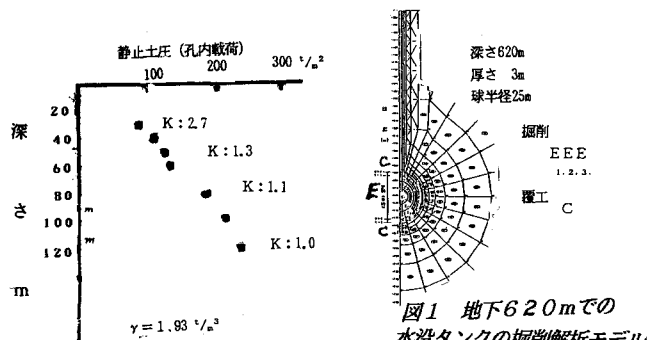


図3 東京湾の土丹での静止土圧の測定の例(首都公<sup>5)</sup>)

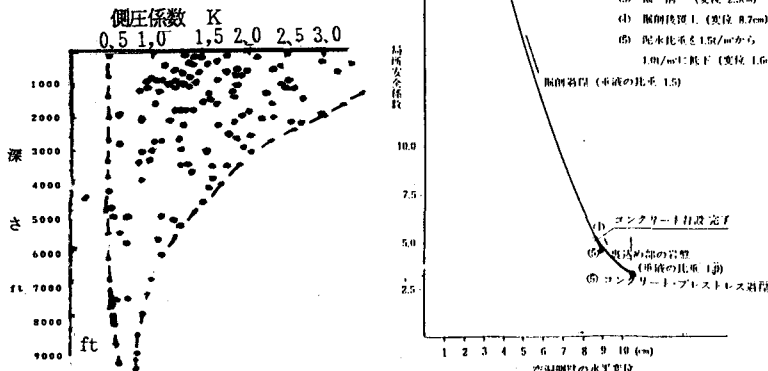


図4 海外での石油開発における側圧係数の深さ方向の変化 6), 8), 9)

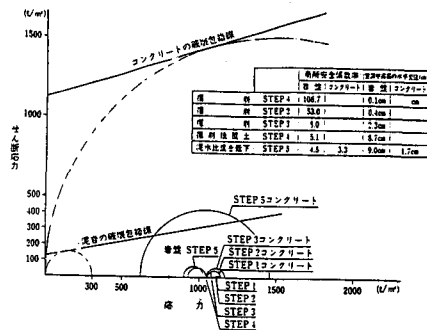


図2-1-a

掘削と覆工におけるMohrの応力円と破壊の包絡線  
(全断面掘削-覆工-泥水比重の低下)

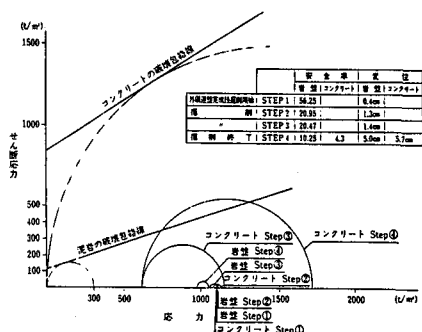


図2-2-a 連続地中壁工法におけるMohrの応力円と破壊の包絡線

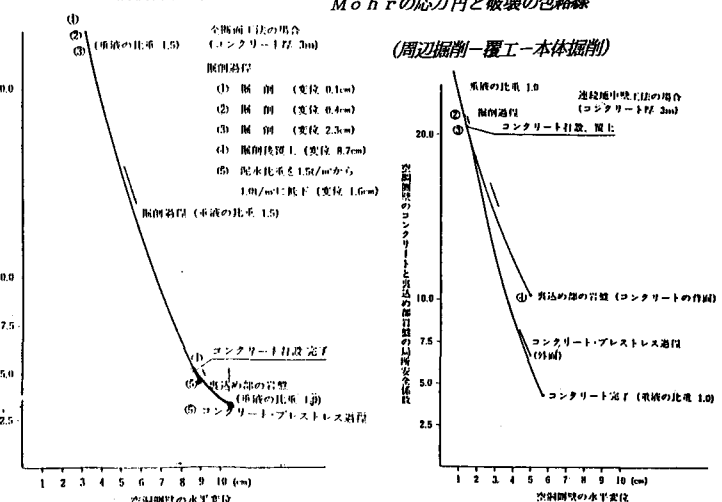


図2-1-b 挖削と覆工における中高部での変位と局所安全係数の変化  
(全断面掘削-覆工-泥水比重の低下)

図2-2-b 連続地中壁工法における中高部での変位と局所安全係数の変化

前報<sup>4)</sup>を  
訂正

9. 球形の深部地中タンク周辺応力分布の側圧係数による違い  
弾性理論は表2で、図6での赤道C極点Aでの鉛直地圧 $\sigma_{zo}$ に対する応力集中率 $\alpha$ はボアソン比に支配される(図7)

- (1) 理想的なのは $K=1$ の場合で $\alpha$ は全点、全方向で1.5
- (2)  $K=0.5$ の場合にはCでの鉛直成分が1.72~1.78
- (3)  $K=1.5$ では赤道Cのフープ成分は2.88~3.10、極点応力は3.37~3.70になる。
- (4) ボアソン比は $K=1.0$ では0.5にちかく、 $K$ が0.5とか1.5とか異なる場合の側圧の場合には0.1~0.3が対応すると思われる。より本質的には過圧密度およびテクトニクス等を含め、粘塑性力学により今後研究を必要とする。

10. 必要な泥水比重の予測(全断面掘削後覆工までの安定)深さHで液が内圧として機能すれば球面内の最大応力 $\sigma_1 = \alpha \gamma_t H - \gamma_m H$ 、ここで $\gamma_t$ 、 $\gamma_m$ は岩盤と泥水の密度。球面への直応力 $\sigma_3$ は $\gamma_m H$ 、差応力 $T = (\sigma_1 - \sigma_3) / 2$ 、せん断抵抗 $R = q_u / 2$ 、局所安全係数 $S = R / T = (q_u / (\alpha \gamma_t H - 2\gamma_m H))$ 、従って必要な泥水比重

$$\gamma_m = (\alpha \gamma_t H - q_u) / 2HS \quad \text{例えば} \quad S \text{が} 2.0, q_u \text{が} 300 \text{t/m}^2, \alpha = 1.5, \gamma_t = 1.9 \text{t/m}^3$$

一方、せん断抵抗 $R = q_u / 2 = 300 / 2 = 150 \text{t/m}^2$ ,  $H = 650 \text{m}$ なら  $\gamma_m = 1.31 \text{t/m}^3$  若し、 $S = 1.5$ でよいなら  $\gamma_m = 1.27 \text{t/m}^3$  を要する。この程度の重泥水は重昌石粉により実用的範囲である。

11. 側圧係数が大きい場合は扁平梢円体あるいは周辺での応力緩和孔<sup>7)</sup>等の成立性も今後検討してみたい。

表2 球形の深部地中タンク周辺の応力成分

$\sigma_{zo} = f_r H$
$\sigma_{x0} = \sigma_{y0} = K \sigma_{zo}$
$\sigma_z = \sigma_{xz} = \frac{1}{14-10\nu} \frac{f^3}{R^3} (4-5\nu + 9\frac{f^2}{R^2})$
$\sigma_{yz} = \sigma_{zy} = \frac{3}{14-10\nu} \frac{f^3}{R^3} (-2+5\nu + \frac{f^2}{R^2})$
$\sigma_y = \sigma_{yz} = \frac{12}{14-10\nu} \frac{f^3}{R^3} (1 - \frac{f^2}{R^2})$
$\sigma_{y(R=f)} = \sigma_{yo} = \frac{3}{14-10\nu} [-(1+5\nu) + 10\cos^2\nu]$
$\sigma_{\theta(R=f)} = \sigma_{\theta o} = \frac{3}{14-10\nu} [-(1+5\nu) + 10\nu \cos^2\nu]$
$\sigma_{zc} = \frac{27-15\nu}{14-10\nu} \sigma_{zo}$ ( $\nu=0, z=0, f=R$ )
$\sigma_{\theta c} = \frac{15\nu-3}{14-10\nu} \sigma_{zo}$ ( $f=0, z=0, f=R$ )
$\sigma_{ya} = \sigma_{ya} = \frac{3+15\nu}{14-10\nu} \sigma_{zo}$ ( $\nu=\frac{\pi}{4}, f=R$ )
$\alpha_x = \frac{\sigma_{zo}}{\sigma_{yo}}$
$\alpha_y = \frac{\sigma_{zo}}{\sigma_{\theta o}}$
$\alpha_z = \frac{\sigma_{zo}}{\sigma_{zc}}$

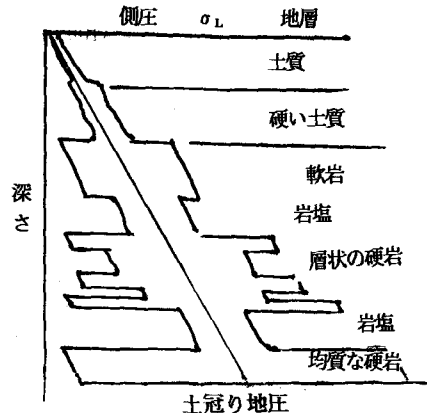


図5 側圧のせん断強度と深さによる変化  
の模式図 (Serata, S.<sup>o</sup>)

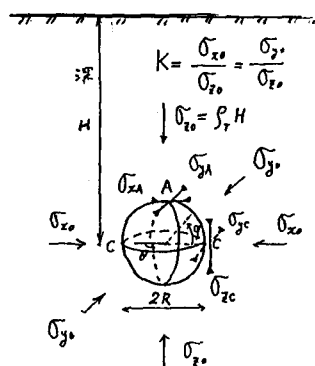


図6 球形の深部地中タンク周辺の応力集中

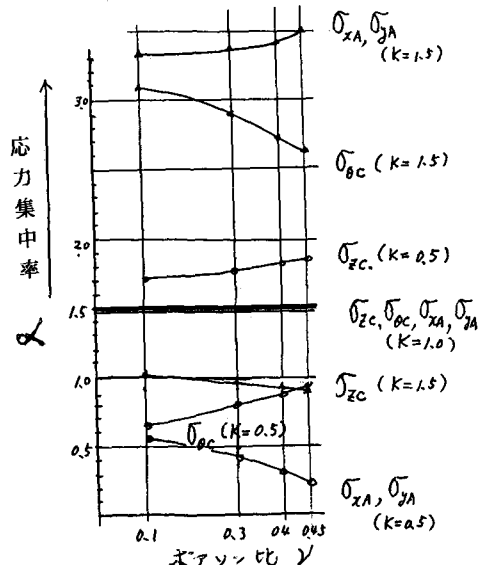


図7 側圧係数による応力集中率の違い

結び このタンクは実用までには少なくとも10年はかかるがその可能性を期待し、まず課題の拾い出しの段階の報告を行つてみた。

1) 深部地中空間は側圧係数より、球型・だ円体<sup>12)</sup>(たて、よこ)、泥水比重、覆工厚さ、応力緩和孔などの設計を的確に判断する必要があるだろう。しかし深くなるとその判断はゆらぎが少なくなると思われる。

2) ごく深くでの全断面工法では、球形空洞は应力集中が少なく泥水比重も1.2~1.3で済

む可能性がある。それは地圧に比べ弱い泥岩ではごく深くなると等方的地圧で平衡していると考えられるからである。

3) 工法についてはまず共通課題を探つてみた。今後のプロジェクト化のときに役立てば幸いである。深部での初期地圧を計ることは先決と思はれる。電中研では幸にも深部軟岩の物性チームができた。各方面との交流も期待される。(1989年1月5日)

表3 軟岩での深部地中水没タンクの建造に関する研究・開発の課題案

開発目標		研究課題	項目	内容と方法	
事前調査	深部	地層・地質 堆積軟岩の遠隔 地質調査法の開発	地層構造の後層	堆積構造の走向・傾斜、規模、分布、弾性波、浅層反射、電磁波	
	堆積軟岩の遠隔		岩質	ボーリングコア、孔内観察、孔内変形	
	地質調査法の開発		堆積特性(挟み層)	初期地圧の異方性、挟み層における透水性、透気性、被圧水圧	
設 計 計	ボーリング 孔内の軟岩の力学 的物性調査法の開発	泥岩・砂岩・頁岩 の変形と強度	変形	三軸圧密、非排水、排水、圧密降伏、クリープ、くり返し変形、異方性	
	強度		強度	一輪、三軸圧密、非排水、排水、圧密降伏、クリープ、疲労、異方性	
	初期地圧		初期地圧	側圧係数、三次元、異方性	
設 計 工 法 の 開 発	重泥水	軟岩の安定性評価 粘性変形	水和抑制、ソリッドコントロール、耐セメント性、比重安定性	泥水防止	
	非線形変形		過密化	自然密	低粘性
	粘性変形		クリープ、くり返し応力、水と反応、局所安全係数の所要値、透水性、透気性		
施 工 シ ス テ ム の 開 発	空洞覆工の安定性評価	粘弹性変形解折 泥水中コンクリート	粘弹性変形解折	袖対称解折、非袖対称解折、三次元解折、動的解折	
	高強度ポリマー コンクリート		高強度ポリマー コンクリート	耐泥水性能、ファイバコンクリート、高強度用骨材、型枠、ストッパー、泥水、 メンブレン型枠、打撃目処理、骨材冷却、クリーリング	
	掘削と覆工のタイミング、形状の適正化、地圧の抑制		掘削と覆工のタイミング、形状の適正化、地圧の抑制		
機 械 工 程 開 発	立坑機械	立坑機械 空洞掘削機 曲り掘り機 小型水中掘削機	立坑機械	鉄筋コンクリート、鋼製立坑、アクリル	
	水没立坑		空洞掘削機	パンタグラフ機(溝切りが主)、ブーム掘削機(旋回掘削)	
	鉄筋コンクリート		曲り掘り機	MHD(曲りレール用掘削機)	
機 械 工 程 開 発	上上げ用	上上げ用 連続地中盤	上上げ用	ベンチカット、スライドカット、水中吹付け	
	連続地中盤		連続地中盤	曲面コンクリート壁	曲りレール、スライドカット、圧気用バッカ、エアリフト
	鉄筋		鉄筋	エアリフト、バケット	
機 械 工 程 開 発	高効率化	高効率化 泥水中計測・制御	高効率化	エアリフト、バケット	
	泥水中計測・制御		泥水中計測・制御	形状、方向、速度、距離、標高、接触、水質	
	地下水管理		地下水管理	地下水管理計測、変形のモニタ、泥水管理、排水処理	
維持管理	地盤と地中空間	地盤保全	地盤・地中の変状		

#### 参考文献

- Haddenhorst H.G., Lorenzen H., Meister, F., Schaumberg G. and Vicanek J. "Hochdruck-Erdgas Speichern in Salzkavernen" Erdöl Erdgas Zeitschrift, Sonderdruck aus Heft 5/6, 1974, Seite 154-161/197-204
- 林正夫：新構想の圧縮空気貯蔵－ガスタービン発電方式の経済生の概念－ ピーク・ミドル兼用発電方式の提案、電力土木－1989年1月。
- 林正夫：圧縮空気貯蔵－ガスタービン発電の新方式の構想、第7回岩の力学連合シンポジウム、1987。
- 林正夫：大電力を貯蔵する－圧縮空気貯蔵－ガスタービン発電の新技術構想、地中空間利用に関するシンポジウム、土木学会、1988-10。
- 富沢、長谷川、池内、大西：東京港連絡橋の基礎地盤となる土丹の物性、土と基礎35-3、1987。
- Serata S. "Integration of field instrumentation and computer simulation : Development and application of SPDR method" Paper in 2nd International Symposium on Field Measurement in Geomechanics, Kobe, April, 1987.
- Serata S. "In Situ Measurement of Stress States in Salt and Associated Sedimentary Rock in Relation to Depth." SERATA GEOMECHANICS, INC., 1988.
- Brown E. T. and Hoek E. "Trend in relationship between measured in situ and depth" International Journal of Rock Mechanics and Mining Science & Geomechanical Abstracts, Vol.15, 1978.
- Jamison D.B. and Cook N.G.W. "An Analysis of Measured Values for the State of Stress in the earearth crust, Report, LBL 7071, SAC-07, Science Devisionand Mineral Engineering, University of California, Berkley. 1978.
- Southwell R.V. Geoh J. "On the concentration of the stress in the neighbourhood of small flaw, and on propagation of fatigue in statically isotropic materials" Phil. Mag. ser., Vol.1, No.1, pp71-97, 1926.
- 西田正孝「応力集中」森北出版、1988。
- 宮本博「三次元弹性論」裳華房、1967